

Eine neue Synthese von 8-donatorsubstituierten 5-Thia- und 5-Deaza-riboflavin-Derivaten

Helmut Fenner¹⁾ und Dieter Hochhuth^{*2)}

Pharmazeutisches Institut der Freien Universität Berlin, Königin-Luise-Str. 2-4, 1000 Berlin 33

Eingegangen am 27. September 1989

Durch gezielte Verwendung von Schutzgruppen konnte die Synthesemöglichkeit für 5-Thia- und 5-Deaza-riboflavine auch auf die 8-Elektronendonator-substituierten Derivate 2 und 3 ausgedehnt werden. Die Polyole 4 werden transketalisiert und anschließend mit 2,4,6-Trichlorpyrimidin zu 8 und 9 umgesetzt. Einführung der Benzyloxy-Gruppe und Hydrierung gibt als zentrale Vorstufen die Uracile 11. Deren Cyclisierung erfolgte in bekannter Weise. Abspaltung der O-Schutzgruppen gibt die Zielverbindungen 2 und 3. Die Methode mit 3-7% Gesamtausbeute (bezogen auf D-Ribose) kann auch Synthesemöglichkeiten für komplexere Flavine eröffnen, da sich die Uracile 11 auch zu "normalen" Flavinen cyclisieren lassen.

A New Synthesis of 8-Donor-substituted 5-Thia- and 5-Deaza-riboflavin-Derivatives

Use of protecting groups effected a new synthetic approach to 8-electron-donor-substituted 5-thia- and 5-deaza-riboflavines 2 and 3. Polyols 4 are transketalized, then reacted with 2,4,6-trichlorpyrimidine, yielding a mixture of compounds 8 and 9. After the exchange of chlorine by the benzyloxy-group, hydrogenolysis yields compound 11, the key intermediate. Cyclization is performed as usual, followed by deprotection. The title compounds 2 and 3 are formed in 3-7% overall yield, based on D-ribose. They can be used in biological systems to study flavin-catalyzed redox reactions. Uraciles 11 can be cyclized yielding "normal" flavins, too. Therefore, this new method can help to solve complicated synthetic problems in flavin chemistry.

Flavine sind wegen ihrer zentralen Bedeutung als Redoxkatalysatoren im Intermediärstoffwechsel von großem biochemischen Interesse. Systematische Abwandlungen des natürlichen Flavingerüstes (in Riboflavin = 1) erlauben die Untersuchung der ablaufenden Redoxreaktionen. Die tricyclischen Grundkörper - Pyrimido[5,4-b][1,4]benzothiazin-2,4-dion (= 5-Thiaflavin³), in 2) und Pyrimido-[4,5-b]chinolin-2,4-dion [= 5-Deazafavin⁴], in 3) sind lange bekannt. Nach ihrer Synthese konnten 5-Deazafavine in methanogenen Bakterien⁵ und in *Streptomyces griseus*⁶ als natürliche Coenzyme nachgewiesen werden.

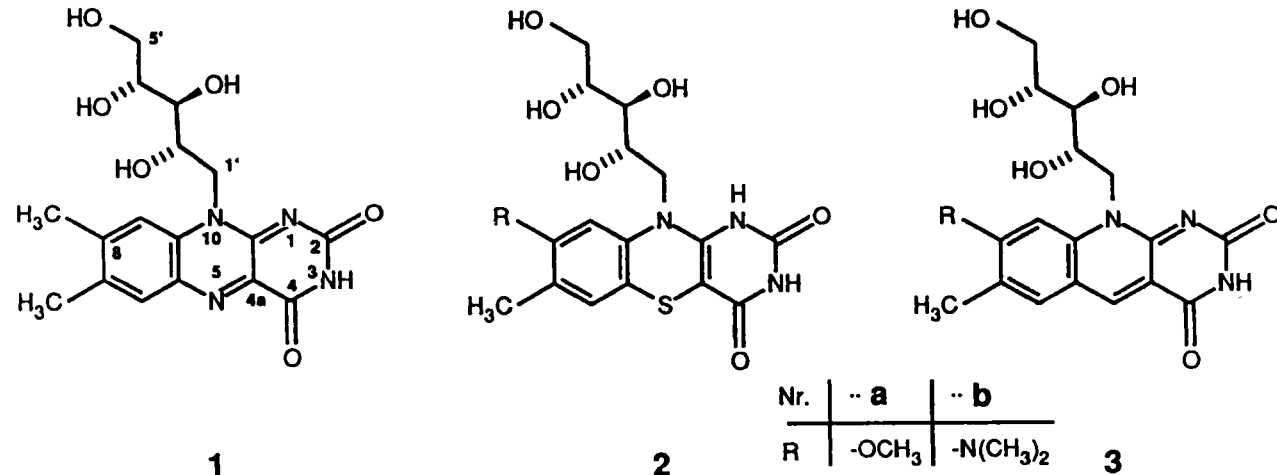
In früheren Arbeiten wurde das 5-Thiariboflavin 2, R¹ = CH₃ dargestellt⁷. Diese Verbindung ist jedoch in biologischen Testmodellen inaktiv, da ihr Redoxpotential (+ 380 mV) im Vergleich zu Flavinmononucleotid (-199 mV) zu hoch ist⁸. Durch Einführung von Elektronendonatoren in 8-Stellung wurde das Redoxpotential erniedrigt⁹. Bisherige Synthesen^{4,10} ermöglichen jedoch nur entweder die Einführung eines D-Ribitylrestes in N-10 Stellung oder von Donatorsubstituenten in Position 8.

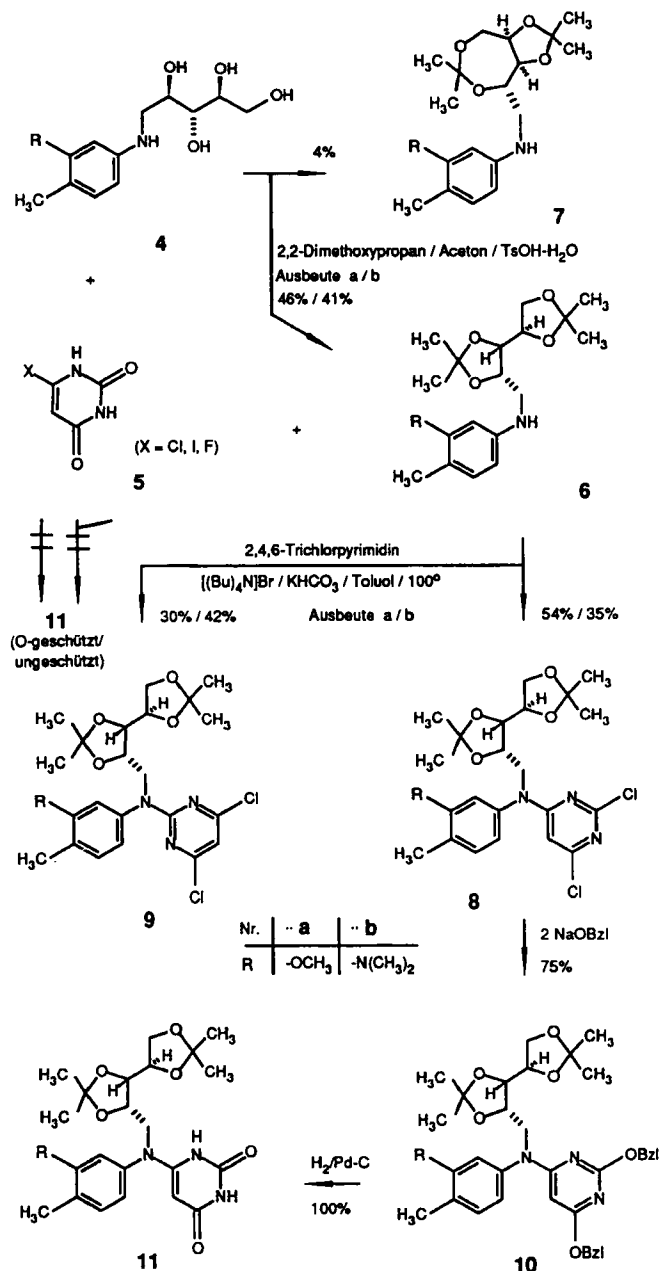
Bei beiden Synthesen wurde jeweils ein N-substituiertes Anilinderivat mit 6-Chloruracil umgesetzt. Die dazu benötigten D-Ribitolderivate 4 sind durch reduktive

Aminierung von D-Ribose gut zugänglich. Verbindung 4a wird in MeOH mit Pd-C/H₂ unter Druck dargestellt. Das bereits bekannte, jedoch instabile D-Ribitolderivat 4b wurde in 76% Ausbeute dargestellt. An Stelle des umständlichen Einsatzes von Raney-Nickel¹¹ wurde mit NaBH₃CN reduziert. Die Umsetzung von 4a mit verschiedenen 6-Halogen-uracilen 5 zu 11 erwies sich - auch unter vielfältiger Variation der Reaktionsbedingungen - als ungeeignet.

Die erfolgreiche Synthese gelang durch Transketalisierung der D-Ribitolderivate 4 mit 2,2-Dimethoxypropan.

Es entsteht ein Gemisch der 2,3:4,5- und 2,5:3,4-O-Ketale 6 und 7, welche durch SC an Kieselgel getrennt und durch ihre ¹³C-NMR-Spektren voneinander unterschieden wurden. Die quartären C-Atome in 2-Stellung von 1,3-Dioxepanen erfahren gegenüber denen in 1,3-Dioxolanen eine Hochfeldverschiebung¹², außerdem zeigt C-5 des D-Ribitolrestes den gleichen Effekt.





Die Verbindungen **6** konnten unter Phasentransferkatalyse¹³⁾ in hohen Ausbeuten mit 2,4,6-Trichlorpyrimidin zum Isomerengemisch **8** und **9** umgesetzt werden.

Die Identifizierung gelang nach der sc-Trennung durch ¹H-NMR-Spektroskopie. Die am N sperrig substituierten Anilino-pyrimidine zeigen für die gewünschten 2,6-Dichlorisomere **8** bei +20°C für das Pyrimidin-5-H ein sehr breites, hochfeldverschobenes Signal um 6.0 ppm. Durch Heizen auf +50°C erhält man ein, durch Kühlen auf -50°C zwei scharfe Signale. Diese Rotationsbehinderung kann bei den als Nebenprodukten gebildeten 4,6-Dichlorerivaten **9** im ¹H-NMR-Spektrum nicht beobachtet werden, da daß Pyrimidin-5-H in der Drehachse liegt. Hier zeigte sich nur ein tieffeldverschobenes, scharfes Signal im Aromatenbereich um 7.0 ppm.

Die Isomere **8** reagieren mit Natriumbenzylat in 76% Ausbeute zu den Dibenzoyloxyverbindungen **10**, die bei der Hydrierung an Pd-C die cyclisierungsfähigen Vorstufen **11** in quantitativer Ausbeute liefern. Die Cyclisierung dieser Uracile mit SOCl₂ führt bei **11a** ausschließlich zu der 4a-

Chlorverbindung **13a**, während bei **11b** ein Gemisch der 7,8- und 6,7-Isomeren **13b/14b** entsteht. Dies ist durch Protonierung der Dimethylaminofunktion während der Cyclisierung zu erklären. Die 4a-Chlorverbindungen sind äußerst reaktiv und werden deshalb ohne Isolierung direkt mit wasserfreien Hydrazin zu den Verbindungen **15** und **16** reduziert. Die Cyclisierung der Uracile **11** mit Triethylorthoformiat¹⁴⁾ ergibt die entsprechenden 5-Deazaflavine **12**.

Durch saure Hydrolyse werden in beiden Reihen die O-Schutzgruppen abgespalten. Die methoxysubstituierten Verbindungen **12a** und **15a** können mit einem sauren Austauscher gespalten werden. Im Falle der Dimethylaminoverbindungen **12b** und **15b** erwies sich verd. H₂SO₄ als vorteilhafter, da die Zielverbindungen alkalilabil sind. Alle tricyclischen Verbindungen lieferten mit bekannten Daten gut korrelierende NMR- und UV-Vis-Spektren. Für die Verbindungen **12** konnten aus einem 1H-1H-COSY-Experiment die Protonen der D-Ribitylkette genauer als bisher zugeordnet werden. Für **3a** wurde ein ¹³C-NMR mit DEPT ausgeführt, welche die bekannte Zuordnung¹⁵⁾ bestätigte. Die 5-Thiaflavine **2** sind Gegenstand weiterer biochemischer und ENDOR-spektroskopischer Untersuchungen.

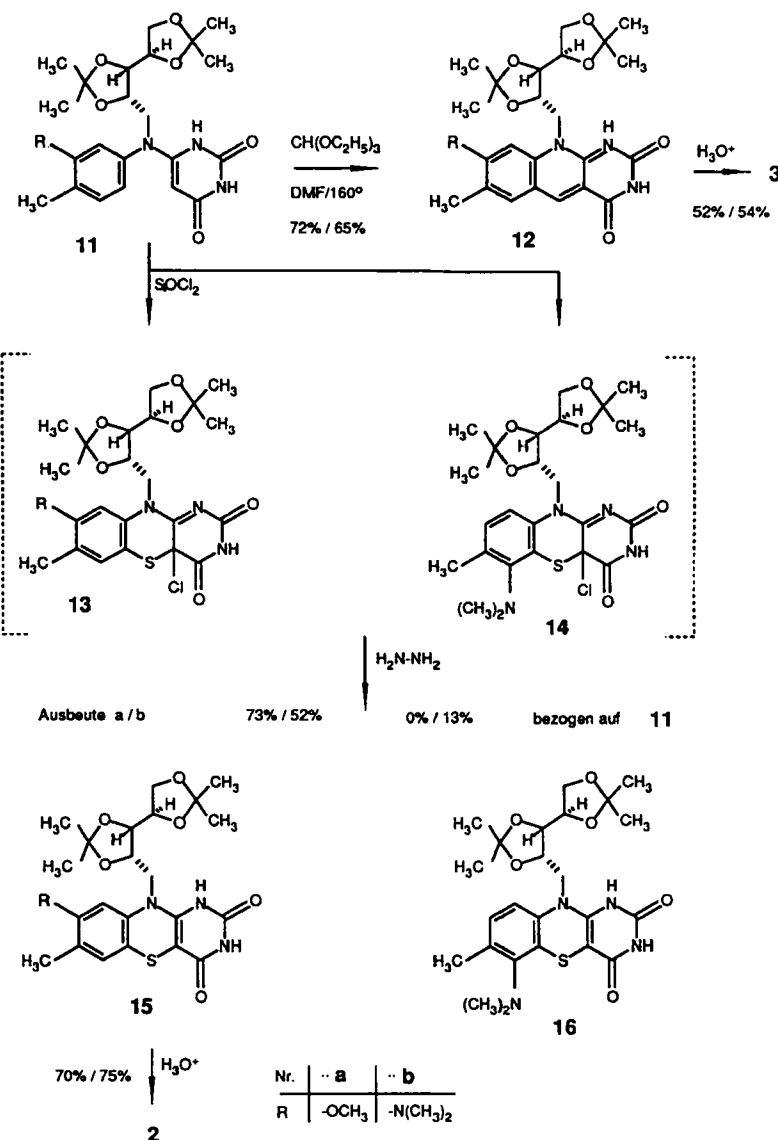
Experimenteller Teil

Schmelzpunkte: Linström-Gerät, uncorr. -Elementaranalysen: Perkin-Elmer-C-H-N-Analyser 240 C und 240 B im mikroanalytischen Labor des pharmazeutischen Instituts. - Massenspektren: Varian MAT 711, Quellentemp. 170°C. FAB⁺ und FAB⁻-Spektren: CH₅-DF-(Varian MAT), Dimethylsulfoxid/Glycerin-Matrix, Xenon. - NMR-Spektren: ¹H- und ¹³C-NMR-Spektren: Bruker AC 300 (300 MHz), Tetramethylsilan als int. Standard. - UV-Vis-Spektren: Quarzküvetten, 1 cm, Hewlett-Packard HP 8451A Dioden-Spektralphotometer. - IR-Spektren: Perkin-Elmer 1420 IR-Spektrophotometer. - Polarimetrie: Perkin-Elmer 141 oder 241 MC, 1 ml fassende, 1 dm lange, thermostatisierbare Quarzküvette. - Säulenchromatographie: Kieselgel 60, 0.063-0.2 mm, Eluenten in (V/V).

Die CHN-Analysen der Vorstufen **6b**, **7**, **8** und **10b** waren unbefriedigend. Diese Festschäume oder Öle konnten auch durch mehrstündigiges Erhitzen i. Vak. nicht analysenrein erhalten werden. Eindeutige spektrale Daten und die weiteren Umsetzungen sichern jedoch ihre Struktur. Gleichermaßen gilt für die instabilen Verbindungen **4b** und **13a**.

(-)-1-Deoxy-1-[{(3-methoxy-4-methylphenyl)-amino]-D-ribitol (4a)}

66 mmol 3-Methoxy-4-methyl-anilin werden mit 66 mmol D-Ribose 3 h unter Rückfluß in 300 ml absol. MeOH gekocht. Nach Abkühlen wird mit 1 g 10% Pd-C 16 h bei 95-100 bar und 80-100°C hydriert. Das Produkt fällt nach dem Abfiltrieren, Nachwaschen mit heißem MeOH und Einengen nach Stehen bei 4°C über Nacht aus. Umkristallisieren aus MeOH liefert weiße Kristalle, Ausb. 71%, Schmp. 130-131°C. - [α]_{20D} = -24.5° (c = 2, MeOH). - C₁₃H₂₁NO₅ (271.3) Ber. C 57.5 H 7.80 N 5.2 Gef. C 57.2 H 8.10 N 5.2. - FAB⁺: 272 (100%, M+H⁺), 150 (76). - ¹H-NMR (DMSO-d₆), δ (ppm) = 6.79 (d, J = 8 Hz, 5'-H), 6.26 (d, J = 2 Hz, 2'-H), 6.07 (dd, J = 8/2 Hz, 6'-H), 5.08 (t, D₂O-Austausch, NH), 4.68 (m, 3H, D₂O-Austausch, 3x OH), 4.42 (m, 1H, D₂O-Austausch, OH), 3.76-3.23 (m, 6H, 1-CH₂, 5-CH₂, 2 x CH), 3.69 (s, 3H, O-CH₃), 2.94 (m, 1H, CH), 1.97 (s, 3H, 4'-CH₃). - IR (KBr): 3503 (OH), 3446 (OH₂), 3345 (OH₂), 3294 (OH/NH), 2923 (CH), 1515, 1049 cm⁻¹.



(-)-1-Deoxy-1-[(3-dimethylamino-4-methylphenyl)-amino]-D-ribitol (4b)

0.1 mol 3-Dimethylamino-4-methyl-anilin werden mit 0.1 mol D-Ribose 1 h in 90 ml EtOH unter Rückfluß erhitzt. Nach Abkühlen wird mit 90 ml Ammoniumacetat/HCl-Puffer pH 3,5 versetzt und unter Kühlen werden im Abzug 6.3 g NaBH₃CN in kleinen Portionen zugefügt. Nach 16 h Röhren wird mit HCl auf pH 0.5 eingestellt (HCN-Entwicklung!) und 1 h gerührt. Dann wird mit konz. NH₃ wieder auf pH 4.5 gebracht und stark eingeengt. Der Rückstand wird mehrfach mit EtOH geschüttelt und die entstehende Suspension filtriert. Zum Filtrat wird das gleiche Volumen Aceton zugefügt und nochmals filtriert. Dann wird eingedampft. Es resultiert ein dunkelbraunes, zähes und zersetzliches Öl¹¹⁾. Ausbeute ca. 75%. Für die weiteren Umsetzungen ist die so gewonnene Substanz brauchbar.

- C₁₄H₂₄N₂O₄ (284.4). - FAB⁺: 285 (65% [M+H]⁺), 163 (100). - FAB⁻: 283 (65% [M-H]⁻), 191 (100).

Synthese der Verbindungen 6 und 7, allgemeine Vorschrift:

4 (Mengenangaben s.u.) wird mit einem 1:2-Gemisch 2,2-Dimethoxypropan/trockenem Aceton 1 h unter Zusatz von Toluol-4-sulfonsäurehydrat (TSA-H₂O) kräftig gerührt. Danach wird eingedampft, mit NaHCO₃ alkalisiert und mehrfach mit CH₂Cl₂ ausgeschüttelt. Nach Trocknung über Na₂SO₄ sicc. und Eindampfen erhält man bräunliche Öle, die sc in die isomeren Verbindungen 6 und 7 getrennt werden. Die Verbindungen 6 verlassen jeweils vor den Isomeren 7 die Säule.

(-)-2,3,4,5-Bis-(1-methylethyliden)-1-deoxy-1-[(3-methoxy-4-methylphenyl)-amino]-D-ribitol (6a)

Aus 13.2 g 4a werden mit 125 ml/250 ml des o.a. Gemisches unter Zusatz von 10.8 g TSA-H₂O 9.5 g Rohprodukt erhalten. Je 3.2 g werden an 250 g Kieselgel mit CH₂Cl₂/Et₂O = 9/1 eluiert: 7.88 g (46%) 6a und 0.7 g (4%) 7a.

6a: C₁₉H₂₉NO₅ (351.4) Ber. C 64.9 H 8.32 N 4.0, Gef. C 64.5 H 8.55 N 4.0. - [α]D₂₀ = -5.6° (c = 2.252, MeOH). - MS (70 eV): m/z = 351 (69%, M⁺), 150 (100). - ¹H-NMR (DMSO-d₆): δ (ppm) = 6.82 (d, J = 8 Hz, 5'-H) 6.27 (s, 2'-H) 6.08 (d, J = 8 Hz, 6'-H), 5.24 (m, CF₃COOD-Austausch, NH), 4.33 (m, 1H, CH), 4.17 (m, 1H, CH), 4.09-4.04 (m, 3H, CH bzw. CH₂), 3.82-3.63 (m, 2H, CH bzw. CH₂), 3.71 (s, 3H, O-CH₃), 3.14 (m, 1H, CH), 1.99 (s, 3H, 4'-CH₃), 1.38, 1.37, 1.30, 1.28 (je s, 3H, CH₃). - ¹³C-NMR (CDCl₃): δ (ppm) = 158.5 (C-3'), 147.5 (C-1'), 131.0 (C-5'), 115.8 (C-4') 109.8, 108.7 (2 x C-2 der Dioxolan Ringe), 104.6 (C-2'), 97.0 (C-6'), 78.3, 75.9, 75.3 (C-2, C-3, C-4), 68.1 (C-5), 55.1 (OCH₃), 43.9 (C-1), 28.0, 26.9, 25.5, 25.4 (4 x CH₃), 15.8 (4'-CH₃)

(-)-2,5,3,4-Bis-(1-methylethyliden)-1-deoxy-1-[(3-methoxy-4-methylphenyl)-amino]-D-ribitol (7a)

Darstellung: siehe (6a). - [α]D₂₀ = -51.3°C (c = 1.882, MeOH). - Rotbraunes Öl. - C₁₉H₂₉NO₅ (351.4). - MS (70 eV): m/z = 351 (65%, M⁺), 150

(100). - $^1\text{H-NMR}$, (DMSO-d₆): δ (ppm) = 6.78 (d, J = 8 Hz, 5'-H), 6.25 (s, 2'-H), 6.08 (d, J = 8 Hz, 6'-H), 5.35 (s, breit, D₂O-Austausch, NH), 4.13 (s, 1H, CH), 3.90 (m, 1H, CH), 3.77-3.73 (m, 3H, CH₂/CH), 3.67 (s, 3H, OCH₃), 3.35 (m, 1H, CH), 2.88 (m, 1H, CH), 1.97 (s, 3H, 4'-CH₃), 1.44, 1.29, 1.27, 1.09 (je s, 3H, CH₃). - $^{13}\text{C-NMR}$ (CDCl₃): δ (ppm) = 158.5 (C-3'), 147.4 (C-1'), 130.9 (C-5'), 115.6 (C-4'), 108.5 (quart. C-2 im 1,3-Dioxolan-Ring), 104.9 (C-6'), 101.9 (quart. C-2 im 1,3-Dioxepan-Ring), 96.9 (C-2'), 77.5, 76.7, 68.8 (C-2,3,4), 58.4 (C-5), 55.2 (OCH₃), 46.0 (C-1), 28.5, 25.7, 25.3, 23.8 (4 x CH₃), 15.3 (4'-CH₃)

(+)-2,3:4,5-Bis-O-(1-methylethylenid)-1-deoxy-1-[(3-dimethylamino-4-methylphenyl)-amino]-D-ribitol (6b)

25 g **4b** werden mit 225 ml 2,2-Dimethoxypropan, 450 ml trockenem Aceton und 37.5 g TSA-H₂O umgesetzt und wie o.a. aufgearbeitet. Man erhält 23 g Rohprodukt, welches in 6 g Portionen an 250 g Kieselgel mit CH₂Cl₂/Et₂O = 8/2 eluiert wird. Ausbeute 13.2 g **6b** (41%) und 1.3 g **7b** (4%). - Braunes Öl. - C₂₀H₃₂N₂O₄ (364.5). - $[\alpha]_{20D}^{20} = +9.9^\circ$ (c = 0.403, CHCl₃). - MS (70 eV): m/z = 364 (100% M⁺). - $^1\text{H-NMR}$ (CDCl₃): δ (ppm) = 6.97 (d, J = 8 Hz, 5'-H); 6.36 (d, J = 2 Hz, 2'-H), 6.30 (dd, J = 8/2 Hz, 6'-H), 4.46-3.32 (m, 8H, 1-CH₂, 2-H, 3-H, 4-H, 5-CH₂, NH), 2.68 (s, 6H, N(CH₃)₂), 2.21 (s, 3H, 4'-CH₃), 1.45, 1.43, 1.37, 1.34 (je s, 3H, CH₃). - $^{13}\text{C-NMR}$ (CDCl₃): δ (ppm) = 153.5 (C-3'), 146.9 (C-1'), 131.7 (C-5'), 121.1 (C-4'), 109.8, 108.7 (2 quart. C-2 der 1,3-Dioxolanringe), 107.2 (C-6'), 104.3 (C-2'), 78.3, 76.0, 73.3 (C-2,3,4), 68.2 (C-5), 44.1 (N(CH₃)₂), 43.8 (C-1), 28.1, 26.9 25.5, 25.5 (4 x CH₃), 17.6 (4'-CH₃)

(-)-2,5;3,4-Bis-O-(1-methylethylenid)-1-deoxy-1-[(3-dimethylamino-4-methylphenyl)-amino]-D-ribitol (7b)

Darstellung siehe **6b**. Braunes Öl. - C₂₀H₃₂N₂O₄ (346.5) $[\alpha]_{20D}^{20} = -19.2^\circ$ (c = 2.624, CHCl₃). - MS (70 eV): m/z = 364 (88%, M⁺) 163 (100). - $^1\text{H-NMR}$ (CDCl₃): δ (ppm) = 6.94 (d, J = 8 Hz, 5'-H), 6.35 (d, J = 2 Hz, 2'-H), 6.29 (dd, J = 8/2 Hz, 6'-H), 4.15-3.00 (m, 8H, 1-CH₂, 2-H, 3-H, 4-H, 5-CH₂, NH), 2.66 (s, 6H, N(CH₃)₂), 2.18 (s, 3H, 4'-CH₃), 1.54, 1.37, 1.30, 1.26 (je s, 3H, CH₃). - $^{13}\text{C-NMR}$ (CDCl₃): δ (ppm) = 153.4 (C-3'), 146.9 (C-1'), 131.7 (C-5'), 121.0 (C-4'), 108.5 (quart. C-2 im 1,3-Dioxolan-Ring), 107.7 (C-6'), 104.4 (C-2'), 101.9 (quart. C-2 im 1,3-Dioxepan-Ring), 77.5, 76.7, 69.0 (C-2,3,4), 58.4 (C-5), 46.0 (C-1), 44.2 (N(CH₃)₂), 28.5, 25.7, 25.3, 23.9 (4 x CH₃), 17.5 (4'-CH₃).

Allgemeine Vorschrift zur Synthese der Verbindungen 8 und 9

1 mmol des entspr. Diketals **6** wird mit 4 mmol KHCO₃ und 0.035 mmol Tetrabutylammoniumbromid in 3 ml Toluol suspendiert. Man gibt 2 mmol 2,4,6-Trichlorpyrimidin zu und erhitzt unter Röhren 16 h auf 100°C. Nach dem Abkühlen wird filtriert, mit CH₂Cl₂ gewaschen und das Filtrat eingedampft. Das so erhaltene Öl wird sc an Kieselgel gereinigt. Zuerst tritt überschüssiges 2,4,6-Trichlorpyrimidin, dann die unerwünschte Verbindung **9**, gefolgt von **8** aus.

(-)-2,3:4,5-Bis-O-(1-methylethylenid)-1-[(2,6-dichlorpyrimidin-4-yl)-(3-methoxy-4-methylphenyl)-amino]-1-deoxy-D-ribitol (8a)

4 g Rohprodukt werden an 250 g Kieselgel gereinigt, Eluent CH₂Cl₂/Et₂O = 9.5/0.5. Weißer Festschaum, Ausb. 54%. - $[\alpha]_{20D}^{20} = -16.6^\circ$ (c = 1.04, MeOH). - C₂₃H₂₉N₃O₅ (498.4). - MS (80 eV): m/z = 501 (3%, M⁺), 499 (15, M⁺), 497 (23, M⁺) 285 (72), 283 (100). - $^1\text{H-NMR}$ a) (DMSO-d₆), 20°C: δ (ppm) = 7.30 (d, J = 8 Hz, 5'-H), 7.00 (s, 2'-H), 6.88 (d, J = 8 Hz, 6'-H), 6.01 (s, breit, Pyrimidin-5-H), 4.38 (m, 1H, CH), 4.17-4.01 (m, 5H, CH₂/CH), 3.81-3.69 (m, 1H, CH), 3.80 (s, 3H, OCH₃), 2.19 (s, 3H, 4'-CH₃), 1.33 (s, 6H, 2 x CH₃), 1.26, 1.23 (je s, 3H, CH₃); b) (Aceton-d₆)/-50°C: das Pyrimidin-5-H zeigt nur 2 Signale; c) in DMSO-d₆/+70°C: ein scharfes Signal für das Pyrimidin-5-H

[(-)-2,3:4,5-Bis-O-(1-methylethylenid)-1-[(4,6-dichlorpyrimidin-2-yl)-(3-methoxy-4-methylphenyl)-amino]-1-deoxy-D-ribitol (9a)]

Siehe **8a**, Ausb. 30%, weißer Festschaum. - $[\alpha]_{20D}^{20} = -11.8^\circ$ (c = 1.694, CH₂Cl₂). - C₂₃H₂₉Cl₂N₃O₅ (498.4). - MS (80 eV): m/z = 501 (4%, M⁺), 499 (20, M⁺), 497 (29, M⁺), 298 (64), 296 (100). - $^1\text{H-NMR}$ (DMSO-d₆): δ (ppm) = 7.19 (d, J = 8 Hz, 5'-H), 7.02 (s, Pyrimidin-5-H), 6.96 (d, J = 2 Hz, 2'-H), 6.84 (dd, J = 8/2 Hz, 6'-H), 4.38 (m, 1H, CH), 4.22-3.99 (m, 5H, CH₂/CH), 3.81-3.75 (m, 1H, CH), 3.76 (s, 3H, OCH₃), 2.17 (s, 3H, 4'-CH₃), 1.33, 1.32, 1.24, 1.23 (je s, 3H, CH₃)

(-)-2,3:4,5-Bis-O-(1-methylethylenid)-1-[(2,6-dichlorpyrimidin-4-yl)-(3-dimethylamino-4-methylphenyl)-amino]-1-deoxy-D-ribitol (8b)

5.8 g Rohprodukt werden an 250 g Kieselgel mit CH₂Cl₂/Et₂O = 9.35/0.65 eluiert, weißer Festschaum, Ausb. 35%. - $[\alpha]_{20D}^{20} = -12.0^\circ$ (c = 0.59, CHCl₃). - C₂₄H₃₂Cl₂N₄O₄ (511.5). - MS (80 eV): m/z = 512 (10%, M⁺), 510 (15, M⁺), 296 (40), 73 (100). - $^1\text{H-NMR}$ (DMSO-d₆), a) 20°C: δ (ppm) = 7.29 (d, J = 8 Hz, 5'-H), 7.02 (d, J = 2 Hz, 2'-H), 6.93 (dd, J = 8/2 Hz, 6'-H), 5.98 (s, 1H, breit, Pyrimidin-5-H), 4.35 (m, 1H, CH), 4.18-4.00 (m, 5H, CH₂/CH), 3.81-3.76 (m, 1H, CH), 2.65 (s, 6H, N(CH₃)₂), 2.30 (s, 3H, 4'-CH₃), 1.33, 1.32, 1.25, 1.23 (je s, 3H, CH₃); b) (Aceton-d₆), -50°C: Pyrimidin-5-H zwei s, c) (DMSO-d₆), +78°C: Pyrimidin-5-H: scharfes s.

(-)-2,3:4,5-Bis-O-(1-methylethylenid)-1-[(4,6-dichlorpyrimidin-2-yl)-(3-dimethylamino-4-methylphenyl)-amino]-1-deoxy-D-ribitol (9b)

SC siehe **9a**, gelber Festschaum, Ausb. = 42%. - $[\alpha]_{20D}^{20} = -20.2^\circ$ (c = 1.062, CHCl₃). - C₂₄H₃₂Cl₂N₄O₄ (511.5). - MS (70 eV): m/z = 514 (8%, M⁺), 512 (38, M⁺), 510 (54, M⁺), 313 (14), 311 (67), 309 (100). - $^1\text{H-NMR}$ (DMSO-d₆): δ (ppm) = 7.18 (d, J = 8 Hz, 5'-H), 7.02 (s, 2H, 2', H und Pyrimidin-5-H), 6.90 (dd, J = 8/2 Hz, 6'-H), 4.36-4.22 (m, 1H, CH), 4.18-3.99 (m, 5H, CH₂/CH), 3.80-3.75 (m, 1H, CH), 2.63 (s, 6H, N(CH₃)₂), 2.28 (s, 3H, 4'-CH₃), 1.32, 1.31, 1.24, 1.23 (je s, 3H, CH₃).

Synthese der Verbindungen 10, allgemeine Vorschrift

5 mmol der betreffenden Dichlorverbindung **8** werden zu Natriumbenzylat (aus 25 mmol Na/35 mmol Benzylalkohol in 200 ml absol. Toluol) gegeben, und 16 h unter Rückfluß gerührt. Nach dem Abkühlen gibt man 5 g Celite^R zu, filtriert unter Nachwaschen mit Toluol, dampft ein und reinigt sc an Kieselgel.

(-)-1-[(2,6-Dibenzylxyloxy-pyrimidin-4-yl)-(3-methoxy-4-methylphenyl)-amino]-2,3:4,5-bis-O-(1-methylethylenid)-1-deoxy-D-ribitol (10a)

Eluent CH₂Cl₂/Et₂O = 9.5/0.5 an 165 g Kieselgel, weißer Festschaum, Ausb. 74%. - $[\alpha]_{20D}^{20} = -23.8^\circ$ (c = 1.322, MeOH). - C₃₇H₄₃N₃O₇ (641.8) Ber. C 69.3 H 6.75 N 6.6 Gef. C 69.3 H 6.85 N 6.5. - MS (80 eV): m/z = 641 (20%, M⁺), 91 (100). - $^1\text{H-NMR}$ (DMSO-d₆): δ (ppm) = 7.42-7.32 (m, 10H, 2 x Phenyl), 7.22 (d, J = 8 Hz, 5'-H), 6.94 (s, 2'-H), 6.82 (d, J = 8 Hz, 6'-H), 5.37, 5.23 (je s, 2H, Benzyl-CH₂), 5.06 (s, 1H, Pyrimidin-5-H), 4.46-3.69 (m, 7H, 1-CH₂, 2-CH, 3-CH, 4-CH, 5-CH₂), 3.76 (s, 3H, OCH₃), 2.17 (s, 3H, 4'-CH₃), 1.25 (s, 3H, CH₃), 1.22 (s, 6H, 2 x CH₃), 1.20 (s, 3H, CH₃). - IR (KBr): 2979 (CH), 2930 (CH), 1611, 1588 cm⁻¹. - UV-Vis (Methanol): λ_{max} ($\epsilon \cdot 10^3$) = 204 (27.2), 210 (26.0), 268 nm (8.7).

(-)-1-[(2,6-Dibenzylxyloxy-pyrimidin-4-yl)-(3-dimethylamino-4-methylphenyl)-amino]-2,3:4,5-bis-O-(1-methylethylenid)-1-deoxy-D-ribitol (10b)

Es wird an 190 g Kieselgel mit CH₂Cl₂/Et₂O = 9.35/0.65 eluiert. Farbloser Öl, Ausb. = 76%. - $[\alpha]_{20D}^{20} = -22.1$ (c = 0.17, MeOH). - C₃₈H₄₆N₄O₆ (654.8). - MS (80 eV): m/z = 654 (5% M⁺), 91 (100). - $^1\text{H-NMR}$ (DMSO-d₆): δ (ppm) = 7.44-7.25 (m, 10H, 2 x Phenyl), 7.22 (d, J = 8 Hz, 5'-H), 7.00 (d, J = 2 Hz, 2'-H), 6.87 (dd, J = 8/2 Hz, 6'-H), 5.37 (s, 2H, Benzyl-

CH_2), 5.22 (s, 2H, Benzyl- CH_2), 5.04 (s, Pyrimidin-5-H), 4.50-3.72 (m, 7H, 1- CH_2 , 5- CH_2 , 2-CH, 3-CH, 4-CH), 2.61 (s, 6H, $\text{N}(\text{CH}_3)_2$), 2.27 (s, 3H, 4'- CH_3), 1.24 (s, 3H, CH_3), 1.21 (s, 6H, 2 x CH_3), 1.19 (s, 3H, CH_3).

Synthese der Uracile 11, allgemeine Vorschrift

4 mmol der betreffenden Dibenzoyloxy-verbindung **10** werden in absol. MeOH mit 0.25 g Pd/C (10%) versetzt und 2 h unter Normaldruck hydriert. Nach dem Abfiltrieren wird eingedampft. Es kann einmal aus MeOH umkristallisiert werden.

(+)-6-[2,3,4,5-Bis-O-(1-methylethyliden)-1-deoxy-D-ribit-1-yl]-3-methoxy-4-methylphenyl-amino]-1H,3H-pyrimidin-2,4-dion (**11a**)

Weisse Kristalle, Schmp. 208-210°C, Ausb. 100%. - $[\alpha]_{\text{D}}^{20} = +52.9^\circ$ (c = 1.085, MeOH). - $\text{C}_{23}\text{H}_{31}\text{N}_3\text{O}_7$ (461.5) Ber. C 59.9 H 6.77 N 9.1 Gef. C 59.5 H 6.96 N 9.0. - MS (80 eV): m/z = 461 (5% M^+), 247 (100). - $^1\text{H-NMR}$ (DMSO-d₆): δ (ppm) = 10.4 (s, D₂O-Austausch, NH), 9.94 (s, breit, D₂O-Austausch, NH), 7.22 (d, J = 8 Hz, 5'-H), 6.90 (d, J = 2 Hz, 2'-H), 6.79 (dd, J = 8/2 Hz, 6'-H), 4.35 (m, 1H, CH), 4.22-4.17 (m, 2H, CH und Pyrimidin-5-H), 4.06-3.73 (m, 5H, 2 x CH_2 , CH), 3.77 (s, 3H, OCH₃), 2.17 (s, 3H, 4'-CH₃), 1.37, 1.31, 1.27, 1.26 (je s, 3H, CH₃). - IR (KBr): 3409 (NH), 3184 (NH), 2980 (CH), 2931 (CH), 1709 (4-C=O), 1646 (2-C=O), 1595, 1217 cm⁻¹. - UV-Vis (Methanol): λ_{max} ($\epsilon \times 10^3$) = 206 (26.0), 276 nm (21.8).

(+)-6-[2,3,4,5-Bis-O-(1-methylethyliden)-1-deoxy-D-ribit-1-yl]-3-dimethylamino-4-methylphenyl-amino]-1H,3H-pyrimidin-2,4-dion (**11b**)

Weisse Kristalle, Schmp. 119-121°C, Ausb. 100%. - $[\alpha]_{\text{D}}^{20} = +67.5^\circ$ (c = 0.45, MeOH). - $\text{C}_{24}\text{H}_{34}\text{N}_4\text{O}_6$ (474.6) Ber. C 60.7 H 7.22 N 11.8 Gef. C 60.6 H 7.36 N 11.7. - MS (80 eV): m/z = 474 (8%, M^+), 260 (100). - $^1\text{H-NMR}$ (DMSO-d₆): δ (ppm) = 10.4 (s, D₂O-Austausch, NH), 9.97 (s, 1H, D₂O-Austausch, NH), 7.22 (d, J = 8 Hz, 5'-H), 6.94 (s, 1H, 2'-H), 6.85 (d, 1H, J = 8 Hz, 6'-H), 4.34 (m, 1H, CH), 4.23-4.16 (m, 1H, CH), 4.19 (s, 1H, Pyrimidin-5-H), 4.06-3.73 (m, 5H, 2 x CH_2 , CH); 2.64 (s, 6H, $\text{N}(\text{CH}_3)_2$), 2.27 (s, 3H, 4'-CH₃), 1.37, 1.31, 1.27, 1.26 (je s, 3H, CH₃). - IR (KBr): 3408 (NH), 3183 (NH), 2979 (CH), 2933 (CH), 2826 (CH), 2782 (CH), 1705 (4-C=O), 1650, 1643 (2-C=O), 1591 cm⁻¹. - UV-Vis (Methanol): λ_{max} ($\epsilon \times 10^3$) = 210 (22.7), 276 nm (26.0).

Cyclisierung zu den 4a-Chlor-5-thiaflavinen **13** und **14**, allgemeine Vorschrift

30 mmol des gut getrockneten Uracils **11** werden in 30 ml entgastem, absol. CH_2Cl_2 gelöst, mit trockenem Argon gespült, mit 10 ml SOCl_2 tropfenweise versetzt und 3 h unter Rückfluß gekocht. Man dampft 4 x mit 25 ml CH_2Cl_2 zur Trockne ein, um SOCl_2 zu entfernen. Da die Substanzen äußerst luft-, licht- und feuchtigkeitsempfindlich sind, wurde auf eine eingehende Charakterisierung verzichtet.

10-[2,3,4,5-Bis-O-(1-methylethyliden)-1-deoxy-D-ribit-1-yl]-4a-chlor-2,3,4a-tetrahydro-8-methoxy-7-methyl-10H-pyrimido[5,4-b][1,4]-benzothiazin-2,4-dion (**13a**)

$\text{C}_{23}\text{H}_{28}\text{ClN}_3\text{O}_7\text{S}$ (526.0). - MS (80 eV): m/z = 527 (6%, M^+), 525 (13, M^+), 510 (12), 491 (10), 475 (10), 431 (11), 277 (20), 276 (100).

Reduktion zu den 5-Thiaflavinen **15** und **16**, allgemeine Vorschrift

Das erhaltene Rohprodukt **13a** bzw. **13b/14b** wird in absol. CH_2Cl_2 gelöst und unter Argon pro 3,5 mmol eingesetztem Uracil mit 1 ml wasserfreiem Hydrazin¹⁶⁾ versetzt. Man röhrt und erhitzt 2 h unter Rückfluß. Danach wird eingedampft, und sc an Kieselgel gereinigt.

(+)-10-[2,3,4,5-Bis-O-(1-methylethyliden)-1-deoxy-D-ribit-1-yl]-1,2,3,4-tetrahydro-8-methoxy-7-methyl-10H-pyrimido[5,4-b][1,4]-benzothiazin-2,4-dion (**15a**)

300 mg Rohprodukt werden an 11 g Kieselgel mit $\text{CH}_2\text{Cl}_2/\text{MeOH} = 9/1$ gereinigt. Gelbe Kristalle, Schmp. 304°C (Zers.), ab 265°C Dunkelfärbung. Ausb. (berechnet auf **11a**) 73%. - $[\alpha]_{\text{D}}^{20} = +211.5^\circ$ (c = 0.67, CHCl_3). - $\text{C}_{23}\text{H}_{29}\text{N}_3\text{O}_7\text{S}$ (491.6) Ber. C 56.2 H 5.95 N 8.6 Gef. C 56.0 H 5.91 N 8.4. - MS (80 eV): m/z = 491 (100%, M^+), 476 (12), 433 (43), 375 (17), 290 (28), 276 (63), 59 (15), 43 (37). - $^1\text{H-NMR}$ (DMSO-d₆): δ (ppm) = 11.10, 11.05 (je s, D₂O-Austausch, NH), 6.86 (s, 6-H), 6.54 (s, 9-H), 4.42-3.68 (m, 7H, 1'-CH₂, 2'-CH, 3'-CH, 4'-CH, 5'-CH₂), 3.77 (s, 3H, 8-OCH₃), 2.04 (s, 3H, 7-CH₃), 1.36, 1.30 (je s, 3H, CH₃), 1.27 (s, 6H, 2 x CH₃). - IR (KBr): 3420 (NH), 2981 (CH), 1713 (4-C=O), 1627 (2-C=O), 1598, 1499, 1441, 1379, 1265, 1214, 1172, 1066, 842, 772, 679 cm⁻¹. - UV-Vis (Methanol): λ_{max} ($\epsilon \times 10^3$) = 210 (22.3), 230 (19.9), 250 (21.4), 286 (9.2), 362 nm (1.8).

(+)-10-[2,3,4,5-Bis-O-(1-methylethyliden)-1-deoxy-D-ribit-1-yl]-8-dimethylamino-1,2,3,4-tetrahydro-7-methyl-10H-pyrimido[5,4-b][1,4]-benzothiazin-2,4-dion (**15b**)

15b fällt als Gemisch mit dem 6-Isomeren **16b** an. Zur Reinigung und Trennung wird 1 g des Gemisches an 200 g Kieselgel mit $\text{CH}_2\text{Cl}_2/\text{Ethylacetat} = 1/1$ chromatographiert. Zuerst wird **16b**, dann **15b** eluiert. Ausb. (bezogen auf Uracil **11b**) 51.5%, gelbe Kristalle, Schmp. 214°C (Zers.). - $[\alpha]_{\text{D}}^{20} = +259.5^\circ$ (c = 0.6, CHCl_3). - $\text{C}_{24}\text{H}_{32}\text{N}_4\text{O}_6\text{S}$ (504.6) Ber. C 57.1 H 6.39 N 11.1 Gef. C 56.8 H 6.53 N 10.8. - MS (80 eV): m/z = 504 (100%, M^+), 489 (12), 446 (26), 413 (20), 388 (11), 355 (8), 303 (20), 289 (63), 259 (7), 59 (9), 43 (21). - $^1\text{H-NMR}$ (DMSO-d₆): δ (ppm) = 11.08, 10.99 (je s, D₂O-Austausch, NH), 6.85 (s, 1H, 6-H), 6.57 (s, 1H, 9-H), 4.38-3.80 (m, 7H, 1'-CH₂, 2'-CH, 3'-CH, 4'-CH, 5'-CH₂), 2.60 (s, 6H, $\text{N}(\text{CH}_3)_2$), 2.14 (s, 3H, 7-CH₃), 1.37, 1.32, 1.28, 1.27 (je s, 3H, CH₃). - IR (KBr): 3419 (NH), 3169 (NH), 2979 (CH), 2932 (CH), 2781, 1719 (4-C=O), 1665, 1621 (2-C=O), 1592, 1490, 1451, 1434, 1404, 1373, 1277, 1248, 1214, 1153, 1065, 977, 908, 880, 842, 762, 679 cm⁻¹. - UV-Vis (Methanol): λ_{max} ($\epsilon \times 10^3$) = 204 (23.2), 252 (31.6), 286 (19.9), 362 nm (2.6).

(+)-10-[2,3,4,5-Bis-O-(1-methylethyliden)-1-deoxy-D-ribit-1-yl]-6-dimethylamino-1,2,3,4-tetrahydro-7-methyl-10H-pyrimido[5,4-b][1,4]-benzothiazin-2,4-dion (**16b**)

Reinigung und Isolierung s. unter **15b**. Ausb. (bezogen auf Uracil **11b**) 13.3 %, gelbe Kristalle, Schmp. 234°C (Zers.). - $[\alpha]_{\text{D}}^{20} = +343.5^\circ$ (c = 0.32, CHCl_3). - $\text{C}_{24}\text{H}_{32}\text{N}_4\text{O}_6\text{S}$ (504.6) ber. C 57.1 H 6.39 N 11.1, Gef. C 56.9 H 6.48 N 11.1. - MS (80 eV): m/z = 504 (100%, M^+), 489 (11), 446 (55), 413 (10), 388 (17), 303 (23), 289 (35), 59 (11), 43 (55). - $^1\text{H-NMR}$ (DMSO-d₆): δ (ppm) = 11.02, 10.64 (je s, D₂O-Austausch, NH), 6.84 (d, J = 8 Hz, 8-H), 6.62 (d, J = 8 Hz, 9-H), 4.37-3.80 (m, 7H, 1'-CH₂, 2'-CH, 3'-CH, 4'-CH, 5'-CH₂), 2.70 (s, 6H, $\text{N}(\text{CH}_3)_2$), 2.17 (s, 3H, 7-CH₃), 1.37, 1.35 (je s, 3H, CH₃), 1.28 (s, 6H, 2 x CH₃). - IR (KBr): 3419 (NH), 3178 (NH), 2979 (CH), 2928 (CH), 2784, 1719 (4-C=O), 1665, 1624 (2-C=O), 1576, 1450, 1402, 1372, 1245, 1215, 1160, 1062, 969, 884, 843, 801, 757, 663 cm⁻¹. - UV-Vis (Methanol): λ_{max} ($\epsilon \times 10^3$) = 204 (21.0), 222 (15.5), 252 (16.2), 286 (10.9), 362 nm (1.4).

Synthese der 5-Deazariboflavine **12**, allgemeine Vorschrift

0.75 mmol des entspr. Uracils **11** werden in 4 ml trockenem Dimethylformamid mit 4 ml Triethylorthoformiat 2 h unter Rückfluß im Ölbad erhitzt. Man läßt abkühlen, gibt 2 ml MeOH zu und läßt 12 h bei 4°C stehen. Der entstandene Niederschlag wird abfiltriert und mit wenig MeOH gewaschen. Im Falle der Dimethylaminoverbindung **12b** wird noch eine SC mit den Rückständen ausgeführt, um die Ausb. zu erhöhen.

(+)-10-[2,3:4,5-Bis-O-(1-methylethyliden)-1-deoxy-D-ribit-1-yl]-3,4-dihydro-8-methoxy-7-methyl-2H-pyrimido[4,5-b]chinolin-2,4-dion (12a)

Ausb. 72%, gelbe Kristalle, Schmp. 297°C (Zers.). - $[\alpha]_{D}^{20} = +163.1^\circ$ (c = 0.325, CHCl₃). - C₂₄H₂₉N₃O₇·0.5 H₂O Ber. C 60.0 H 6.29 N 8.7 Gef. C 59.8 H 6.15 N 8.7. - FAB⁺: 472 (90% [M-H]⁺), 414 (20), 356 (19), 300 (19), 256 (38), 57 (100). - MS (70 eV): m/z = 471 (0.2, M⁺), 456 (17), 413 (14), 398 (4), 326 (8), 300 (7), 257 (100), 214 (14), 101 (83), 43 (29). - ¹H-NMR (DMSO-d₆): δ (ppm) = 11.0 (s, D₂O-Austausch, 3-NH), 8.73 (s, 5-H), 7.83 (s, 6-H), 7.29 (s, 9-H), 5.02 (m, breit, 2H, 1'-CH₂), 4.74 (m, 2'-H), 4.49 (m, 4'-H), 4.23 (m, 3'-H), 4.19 (m, 1H, ein 5'-H), 4.05 (s, 3H, O-CH₃), 3.91 (m, 1H, ein 5'-H), 2.23 (s, 3H, 7α-CH₃), 1.45, 1.43, 1.38, 1.18 (je s, 3H, CH₃). - IR (KBr): 3415 (NH), 3174 (NH), 2980 (CH), 2931 (CH), 1676 (4-C=O), 1605 (2-C=O), 1567, 1521, 1468, 1429, 1408, 1381, 1372, 1251, 1218, 1152, 1069, 1018, 838, 796, 604 cm⁻¹. - UV-Vis (Methanol): λ_{max} (ε × 10⁻³) = 234 (45.1), 258s (20.8), 272 (21.2), 278s (21.3), 340s (6.5), 396s (21.5), 410 nm (22.1).

(+)-10-[2,3:4,5-Bis-O-(1-methylethyliden)-1-deoxy-D-ribit-1-yl]-8-dimethylamino-3,4-dihydro-7-methyl-2H-pyrimido[4,5-b]chinolin-2,4-dion (12b)

Ausb. 65%, gelbe Kristalle, Schmp. 278°C (Zers.), SC-Eluent CH₂Cl₂/MeOH = 9/1. - $[\alpha]_{D}^{20} = +255.9^\circ$ (c = 0.034, CHCl₃). - C₂₅H₃₂N₄O₆·0.5 H₂O Ber. C 60.8 H 6.74 N 11.4 Gef. C 60.8 H 6.74 N 11.0. - FAB⁺: 485 (92% [M+H]⁺), 427 (32), 369 (17), 271 (55), 269 (50), 255 (35), 157 (19), 75 (59), 59 (100). - MS (70 eV): m/z = 484 (0.3%, M⁺), 483 (0.5), 469 (12), 426 (15), 339 (4), 326 (2), 313 (4), 284 (3), 270 (100), 255 (10), 239 (8), 101 (3), 43 (8). - ¹H-NMR (DMSO-d₆): δ (ppm) = 10.9 (s, D₂O-Austausch, 3-NH), 8.73 (s, 5-H), 7.82 (s, 6-H), 7.17 (s, 9-H), 4.96 (m, breit, 2H, 1'-CH₂), 4.72 (m, 2'-H), 4.43 (m, 4'-H), 4.22 (m, 3'-H), 4.19 (m, 1H, ein 5'-H), 3.89 (m, 1H, ein 5'-H), 2.98 (s, 6H, N(CH₃)₂), 2.39 (s, 3H, 7α-CH₃), 1.42 (s, 6H, 2 × CH₃), 1.36, 1.17 (je s, 3H, CH₃). - IR (KBr): 3431 (NH), 2978 (CH), 1672 (4-C=O), 1597 (2-C=O), 1516, 1455, 1427, 1369, 1319, 1279, 1234, 1122, 1068, 845, 796 cm⁻¹. - UV-Vis (Methanol): λ_{max} (ε × 10⁻³) = 254 (36.5), 274 (27.1), 434 nm (40.1).

Synthese der 5-Thia- und 5-Deazariboflavine 2 und 3, allgemeine Vorschrift

Für die Methoxyderivate 2a/3a wird stark saurer Kationenaustauscher Amberlite IRA 120 P (H⁺-Form), für die Dimethylaminoverbindungen 2b/3b 0.5 N H₂SO₄ zur sauren Hydrolyse benutzt. Bei den 5-Thiariboflavinen 2 muß unter Argon gearbeitet werden. Man erhitzt 16 h unter Rückfluß in einem MeOH-H₂O 1:1 Gemisch. Bei 2a/3a wird heiß filtriert und im Kühlschrank stehengelassen. Bei 2b/3b wird stark eingeengt, gekühlt und filtriert. Der Rückstand wird aus Phosphatpuffer pH 5 umkristallisiert, das Filtrat mit Ba(OH)₂ neutralisiert, filtriert und eingedampft. Es folgt eine SC.

(+)-10-(1-Deoxy-D-ribit-1-yl)-1,2,3,4-tetrahydro-8-methoxy-7-methyl-10H-pyrimido[5,4-b][1,4]benzothiazin-2,4-dion (2a)

Hellgelbe Kristalle, licht- und luftempfindlich, hygroskopisch, Ausb. 75%, SC an Kieselgel mit Ethylacetat/MeOH/10% HOAc 8.5/1/0.5, Schmp. 210°C (Zers.). - $[\alpha]_{D}^{20} = +79.1^\circ$ (c = 0.3705, 1 molare Na₂CO₃-Lsg.). - C₁₇H₂₁N₃O₇S·1.5 H₂O (438.5) Ber. C 46.6 H 5.28 N 9.6 Gef. C 46.3 H 5.12 N 9.1. - FAB⁺: 821 (2%, [2M-H]⁺), 410 (100, [M-H]⁺), 276 (25), 181 (15), 151 (10). - ¹H-NMR (DMSO-d₆): δ (ppm) = 11.49, 11.03 (je s, 1H, D₂O-Austausch, NH), 6.94 (s, 6-H), 6.79 (s, 9-H), 5.60, 5.13, 4.81 (je s, 1H, D₂O-Austausch, OH), 4.43 (m, CH), 4.24 (m, CH), 4.03 (m, CH), 3.87-3.83 (m, 3H, CH₂/CH), 3.83 (s, 3H, O-CH₃), 3.69 (m, CH), 2.06 (s, 3H, 7α-CH₃). - IR (KBr): 3386 (OH), 2949 (CH), 1708 (4-C=O), 1625 (2-C=O), 1596, 1500, 1442, 1408, 1347, 1303, 1272, 1190, 1174, 1119, 1048,

874, 762, 682 cm⁻¹. - UV-Vis (Methanol): λ_{max} (ε × 10⁻³) = 204 (21.8), 210 (20.2), 230 (19.6), 252 (21.0), 288 (8.3), 362 nm (1.5).

(+)-10-(1-Deoxy-D-ribit-1-yl)-8-dimethylamino-1,2,3,4-tetrahydro-7-methyl-10H-pyrimido[5,4-b][1,4]benzothiazin-2,4-dion (2b)

Ausb. 70%, gelbe, licht- und luftempfindliche Kristalle, Schmp. 205°C (Zers.). - $[\alpha]_{D}^{20} = +231.9^\circ$ (c = 0.091, MeOH). - C₁₈H₂₅N₄O₆S⁺·HSO⁻·4H₂O (540.6) Ber. C 40.0 H 5.22 N 10.4 Gef. C 39.9 H 5.10 N 10.6. - FAB⁺: 423 (100%, [M-H]⁺), 409 (13), 289 (31). - ¹H-NMR (DMSO-d₆): δ (ppm) = 11.4, 11.1 (je s, D₂O-Austausch, NH), 7.33 (s, 6-H), 7.07 (s, 9-H), 4.16-3.51 (m, 7H, 1'-CH₂, 2'-CH, 3'-CH, 4'-CH, 5'-CH₂), 3.17 (s, 6H, N(CH₃)₂), 2.34 (s, 3H, 7α-CH₃). Die OH-Protonen erhöhen im Bereich von 5.5-4.0 ppm die Grundlinie. - IR (KBr): 3390 (breit, OH), 2924 (CH), 1708 (4-C=O), 1638 (2-C=O), 1597, 1495, 1460, 1407, 1342, 1287, 1260, 1216, 1140, 1112, 1036, 878, 762, 680, 655, 618 cm⁻¹. - UV-Vis (Methanol): λ_{max} (ε × 10⁻³) = 206 (13.1), 210 (13.7), 218 (13.9), 250 (18.8), 286 (12.5), 362 nm (1.5).

(+)-10-(1-Deoxy-D-ribit-1-yl)-3,4-dihydro-8-methoxy-7-methyl-2H-pyrimido[4,5-b]chinolin-2,4-dion (3a)

Ausb. 52%, Schmp. 290°C (Zers.). - $[\alpha]_{D}^{20} = +248.7^\circ$ (c = 8.725 × 10⁻³, DMF). - C₁₈H₂₁N₃O₇·H₂O Ber. C 52.8 H 5.66 N 10.3 Gef. C 52.9 H 5.34 N 10.2. - FAB⁺: 480 (100%, [Glycerin-M-H-Cluster]), 420 (24), 404 (40), 390 (22%, [M-H]⁺), 346 (31), 300 (31), 270 (76), 256 (25). - ¹H-NMR (DMSO-d₆): δ (ppm) = 10.97 (s, D₂O-Austausch, 3-NH), 8.78 (s, 5-H), 7.87 (s, 6-H), 7.49 (s, 9-H), 5.24 (m, 2H, ein H mit D₂O austauschbar, OH/CH), 4.90-4.81 (m, 2H, D₂O-Austausch, 2 × OH), 4.54 (m, 2H, ein H mit D₂O austauschbar, OH/CH), 4.24 (m, 1H, CH), 4.00 (s, 3H, O-CH₃), 3.65 (m, 3H, CH₂ und CH), 3.49 (m, 1H, CH), 2.24 (s, 3H, 7α-CH₃). - ¹³C-NMR (DMSO-d₆): δ (ppm) = 163.5 (C-8), 162.2 (C-4), 157.9 (C-10a), 156.3 (C-2), 142.1 (C-9a), 140.4 (C-5), 131.1 (C-6), 125.0, 115.4, 111.3 (C-5a, C-7, C-4a); 98.0 (C-9), 73.2 (C-4'), 72.8 (C-3'), 69.5 (C-2'), 63.3 (C-5'), 56.4 (O-CH₃), 47.4 (C-1'), 15.4 (7-CH₃). - IR (KBr): 3381 (OH), 3011 (CH), 1688 (4-C=O), 1652, 1599 (2-C=O), 1569, 1517, 1471, 1433, 1399, 1371, 1255, 1153, 1130, 1014, 857, 795, 606 cm⁻¹. - UV-Vis (Methanol): λ_{max} (ε × 10⁻³) = 234 (62.1), 258s (31.1), 270 (31.5), 278s (30.7), 342 (9.4), 406 nm (28.9).

(-)-10-(1-Deoxy-D-ribit-1-yl)-8-dimethylamino-3,4-dihydro-7-methyl-2H-pyrimido[4,5-b]chinolin-2,4-dion (3b)

Ausb. 54%, Schmp. 266°C (Zers.), SC an Kieselgel, Eluent CH₂Cl₂/MeOH = 8/2. - $[\alpha]_{D}^{20456} = -7.4^\circ$ (c = 0.7935, MeOH). - C₁₉H₂₄N₄O₆ (404.4) Ber. C 56.4 H 5.98 N 13.9 Gef. C 56.2 H 5.76 N 13.5. - FAB⁺: 405 (100%, [M-H]⁺), 271 (37), 269 (27), 255 (18), 75 (26), 57 (29). - ¹H-NMR (DMSO-d₆): δ (ppm) = 10.9 (s, D₂O-Austausch, 3-NH), 8.71 (s, 5-H), 7.80 (s, 6-H), 7.32 (s, 9-H), 5.23 (s, breit, D₂O-Austausch, OH), 5.01 (s, 1H, CH), 4.90 (s, breit, 2H, D₂O-Austausch, 2 × OH), 4.62 (m, 1H, CH), 4.56 (s, breit, 1H, D₂O-Austausch, OH), 4.22 (s, 1H, CH), 3.64 (m, 3H, CH/CH₂), 3.49 (m, 1H, CH), 2.95 (s, 6H, N(CH₃)₂), 2.38 (s, 3H, 7α-CH₃). - IR (KBr): 3450 (OH), 2999 (CH), 2930 (CH), 1665 (4-C=O), 1625, 1585 (2-C=O), 1504, 1439, 1390, 1366, 1240, 1213, 1110, 1077, 1012, 928, 791, 619 cm⁻¹. - UV-Vis (Methanol): λ_{max} (ε × 10⁻³) = 254 (24.0), 274 (18.3), 434 nm (25.6).

Literatur

- 1 Fa. Hoffmann - La Roche AG, CH-4002 Basel.
- 2 Teil der in Vorbereitung befindlichen Dissertation D. Hochhuth.
- 3 H. Fenner, Arzneim. Forsch. 20, 1815 (1970).
- 4 D. O'Brien, L. Weinstock, und C. Cheng, J. Heterocycl. Chem. 7, 99 (1970).

- 5 L. Eirich und D. Vogels, *Biochemistry* **17**, 4583 (1978).
- 6 A. Eker, A. Pol, P. van der Meyden und G. Vogels, *FEMS Microbiol. Letters* **8**, 161 (1980).
- 7 a) M. Janda und P. Hemmerich, *Angew. Chem.* **88**, 475 (1976);
b) H. Fenner, R. Grauert und L. Tessendorf, *Arch. Pharm. (Weinheim)* **314**, 874 (1981).
- 8 H. Fenner, R. Grauert, P. Hemmerich, H. Michel und V. Massey, *Eur. J. Biochem.* **95**, 183 (1979).
- 9 A. Mecklenburg, *Dissertation FU Berlin* (1985).
- 10 F. Yoneda, Y. Sakuma, M. Ichiba und K. Shinomura, *J. Am. Chem. Soc.* **98**, 830 (1976).
- 11 S. Kasay, R. Miura und K. Matsui, *Bull. Chem. Soc. Jpn.* **48**, 2877 (1975).
- 12 J. Buchanan, A. Edgar, D. Rawson, P. Shahidi und R. Wightman, *Carbohydrat. Res.* **100**, 75 (1982).
- 13 E. Dehmlow, R. Thieser, H. Zahalka und Y. Sasson, *Tetrahedron Lett.* **1985**, 297
- 14 F. Yoneda, Y. Sakuma, S. Mizumoto und R. Ho, *J. Chem. Soc. Perkin Trans. 1*, **1976**, 1805.
- 15 J. Lhoste, V. Favaudon, S. Ghisla und J. Hastings, in: *Flavins and Flavoproteins, Proceedings of the 6th. International Symposium on Flavins and Flavoproteins*, Ed. K. Yagi, T. Yamano, S. 131, University Park Press, Baltimore 1980; C.A. **94**, 98615t (1981).
- 16 nach E. Nachbaur, und G. Leiseder, *Mh. Chem.* **102**, 1722 (1971); ein Vakuum von 1.5-2 Torr erwies sich als ausreichend.

[Ph725]